

Fig. 1

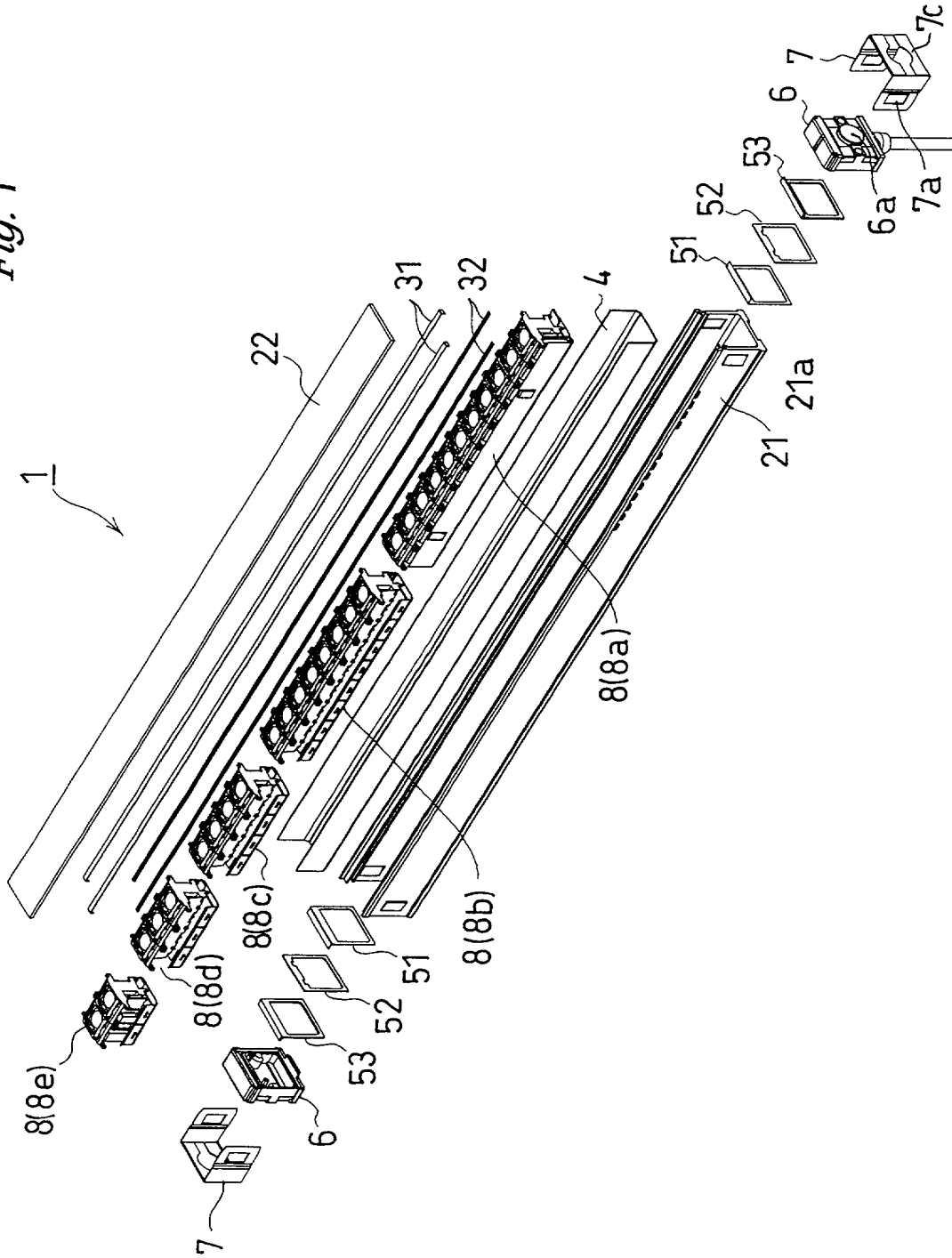


Fig. 2

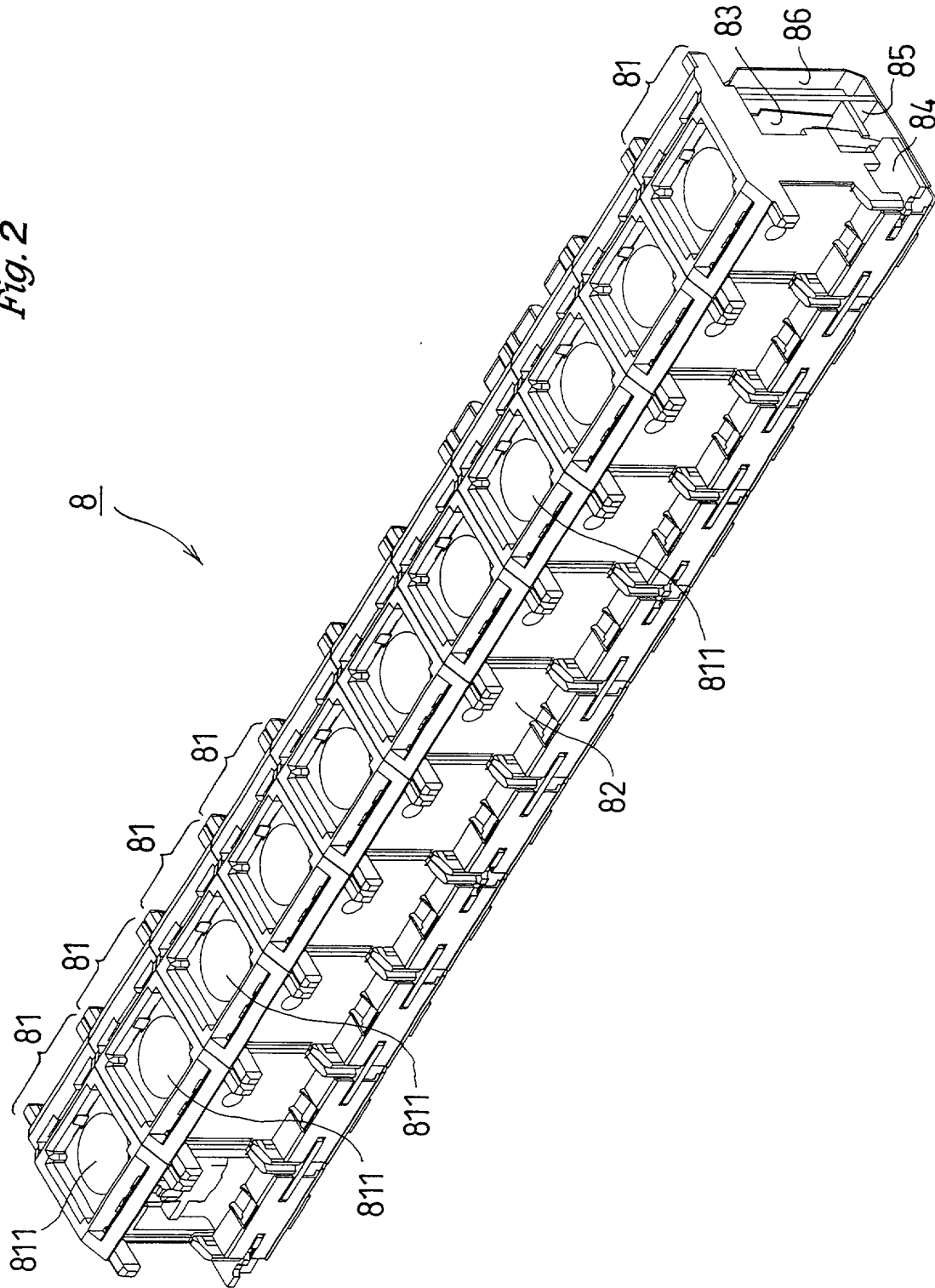
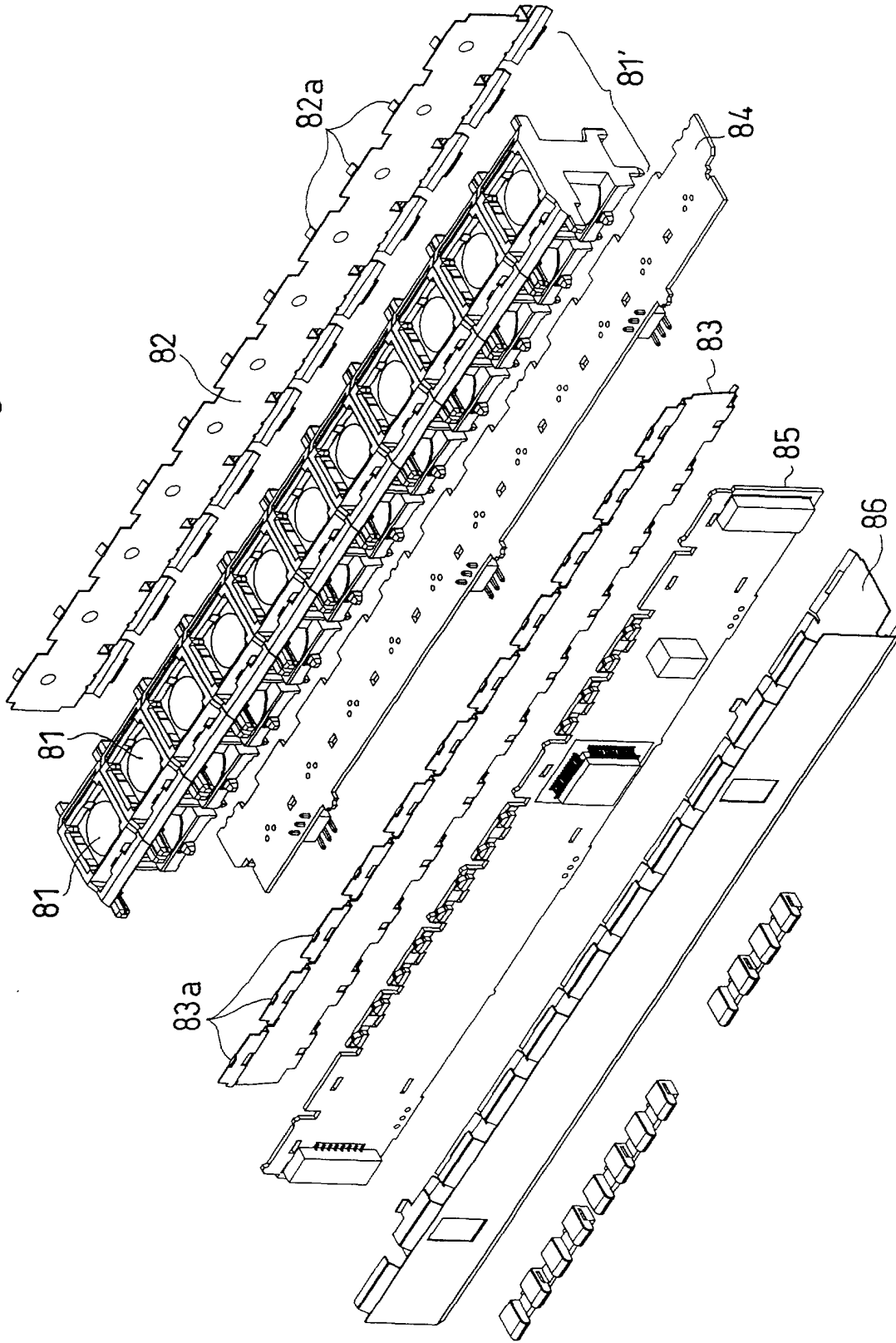
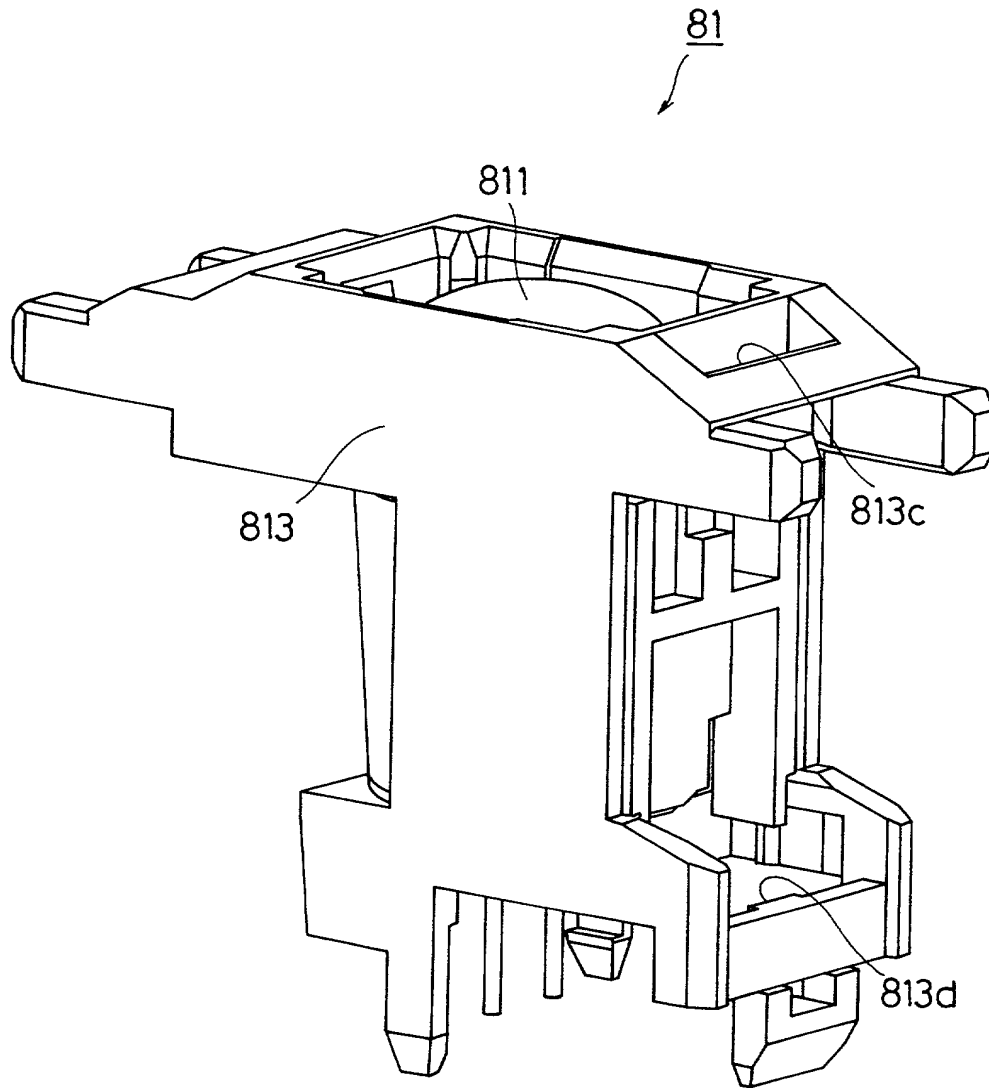


Fig. 3



*Fig. 4*



*Fig. 5*

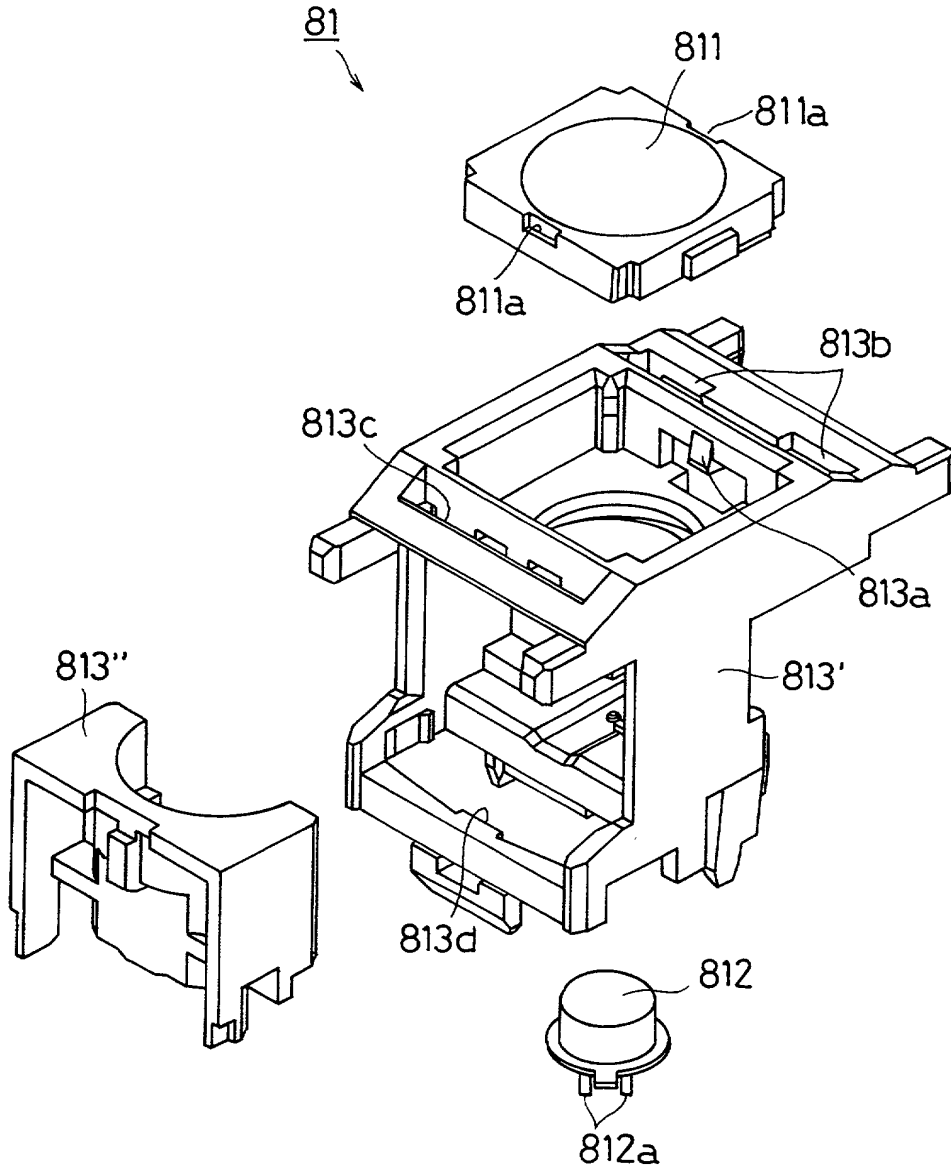
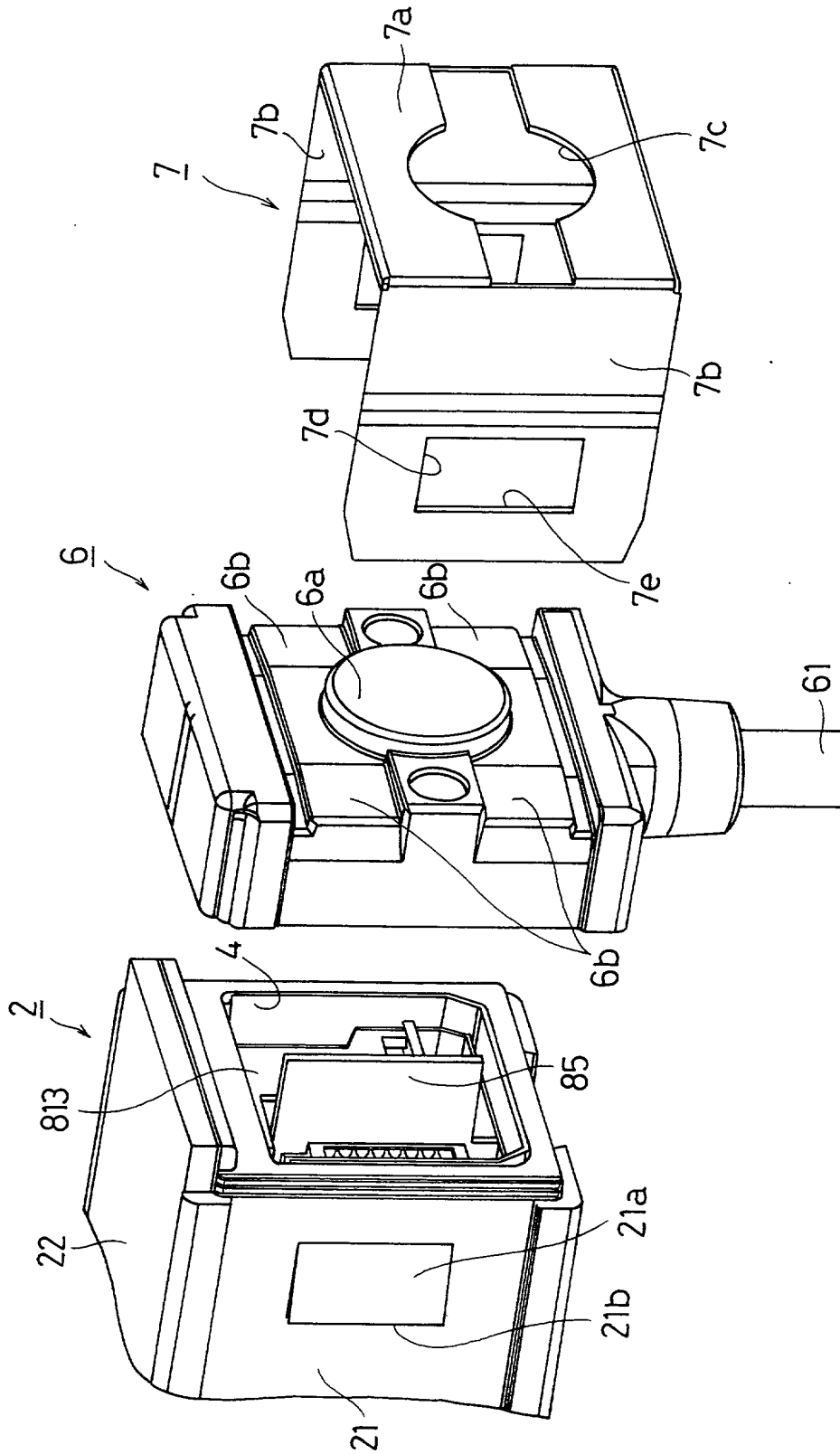


Fig. 6



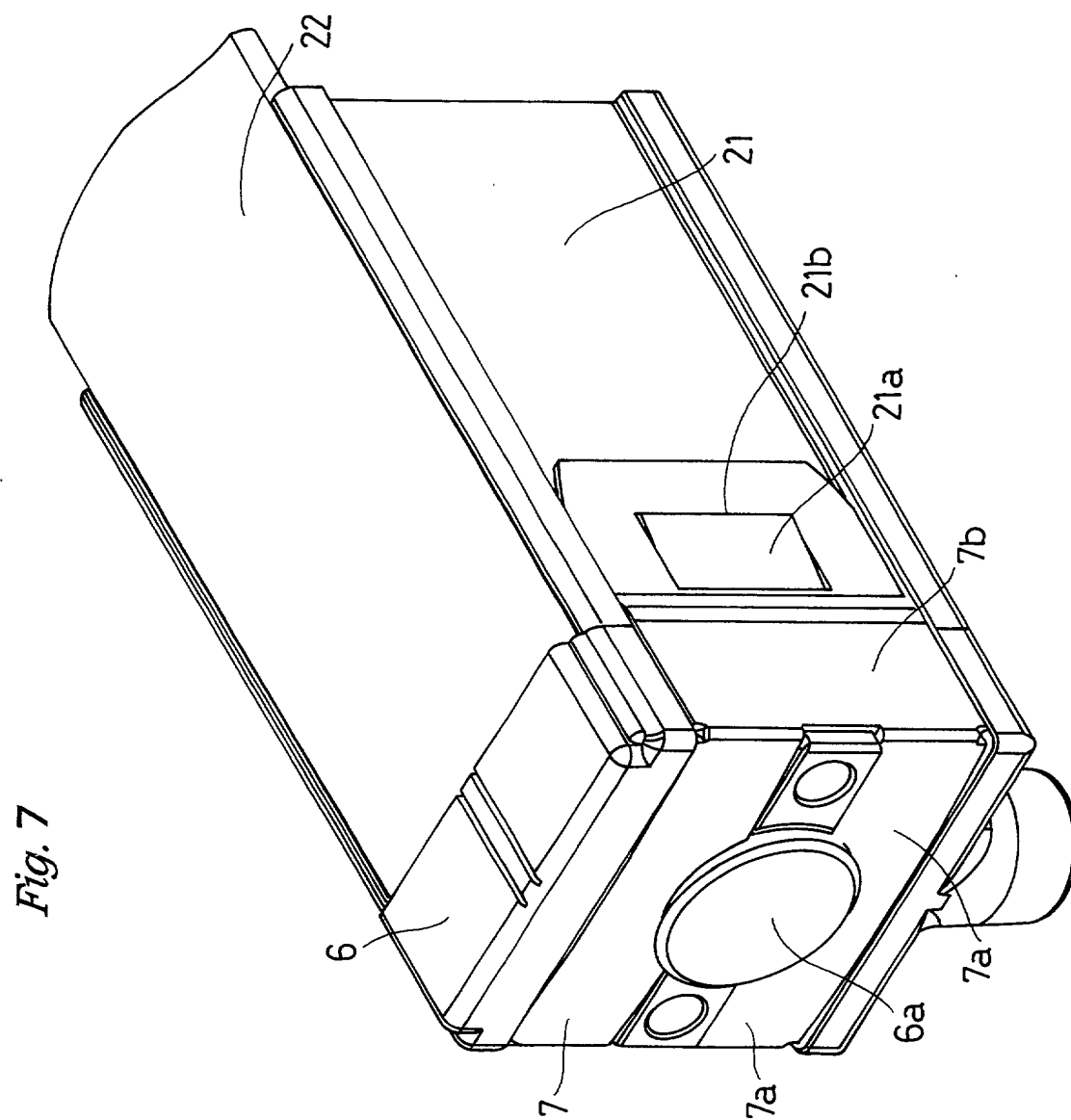


Fig. 8

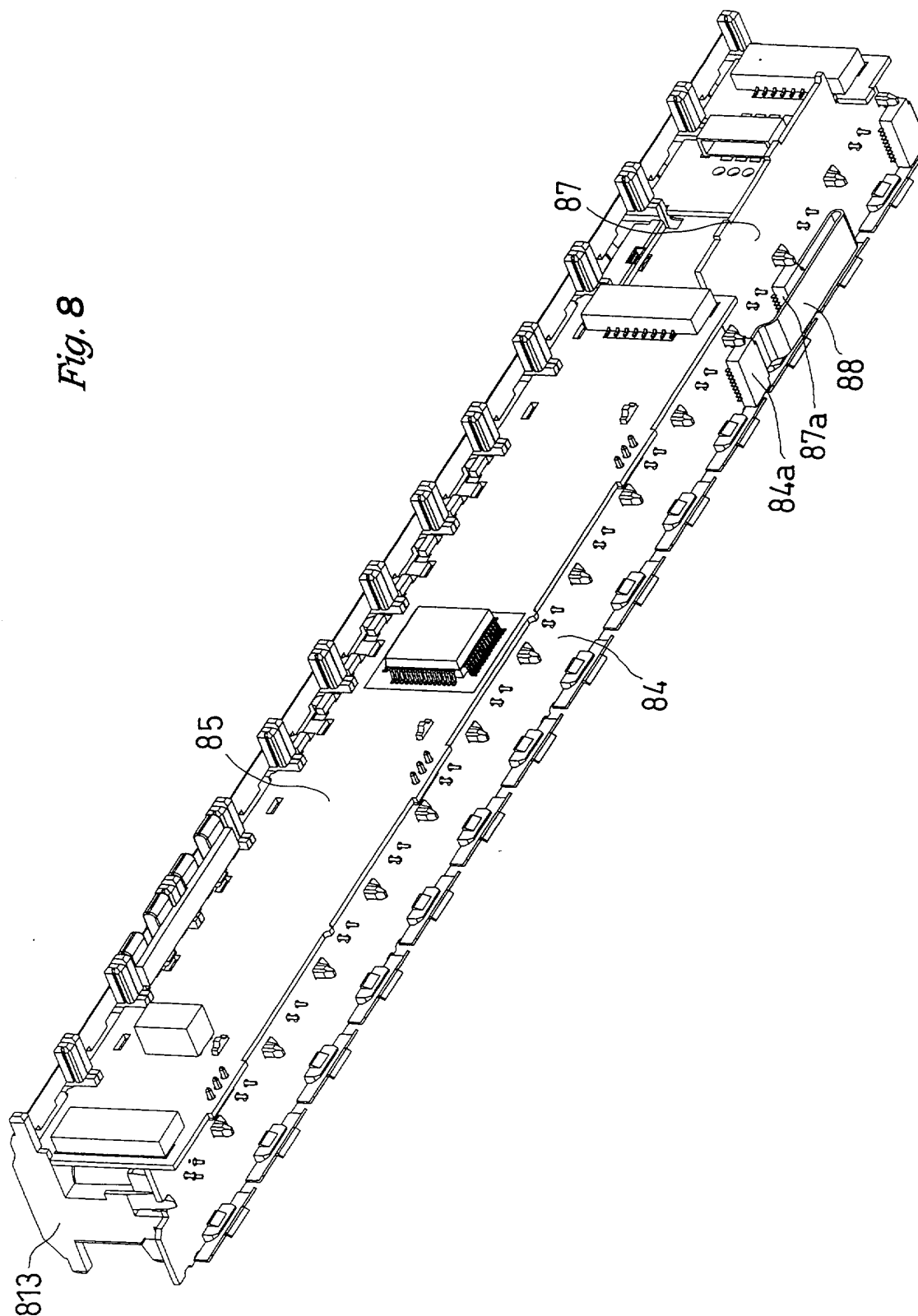
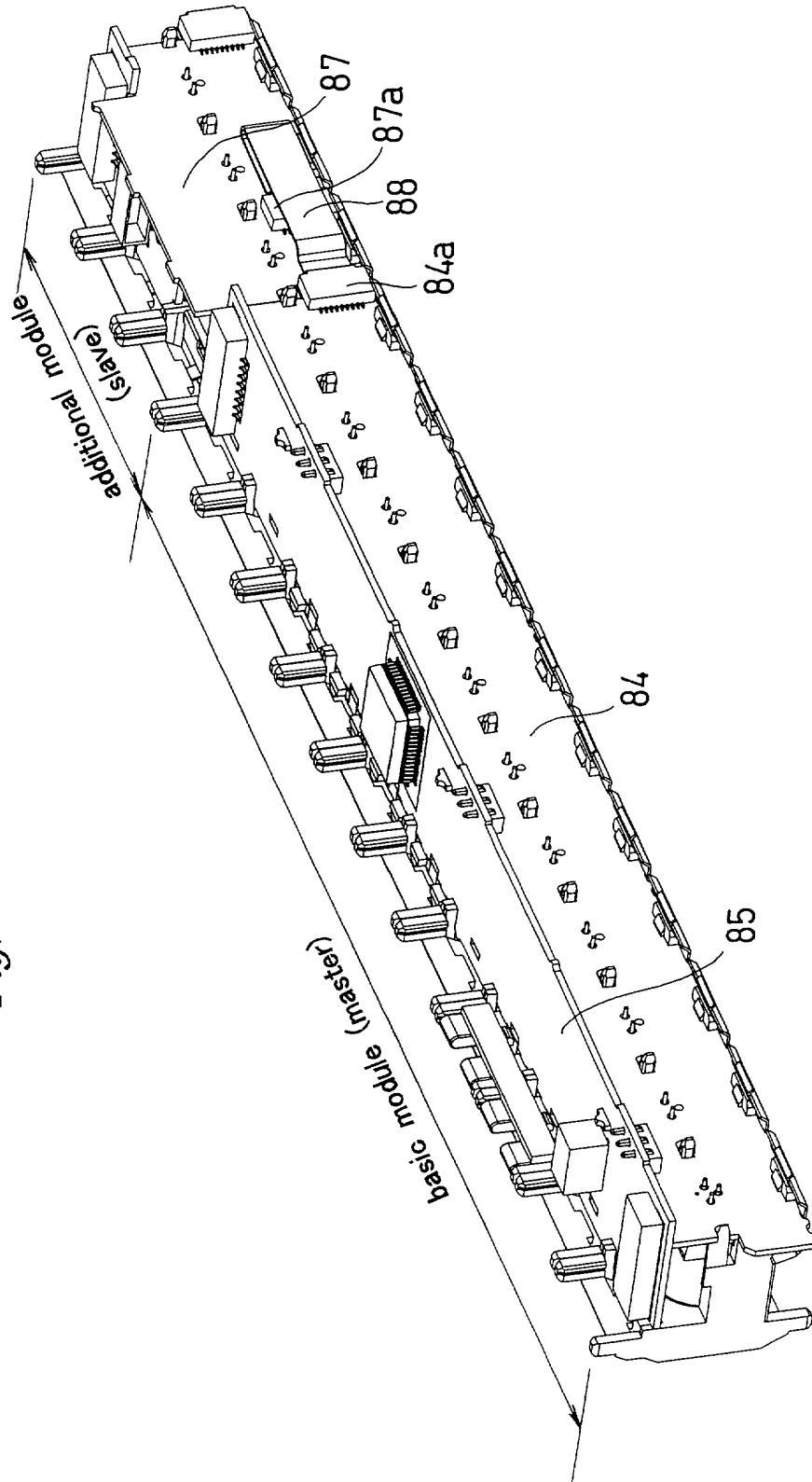




Fig. 9



DOCKET NO.: 058856-0105



Fig. 1 1

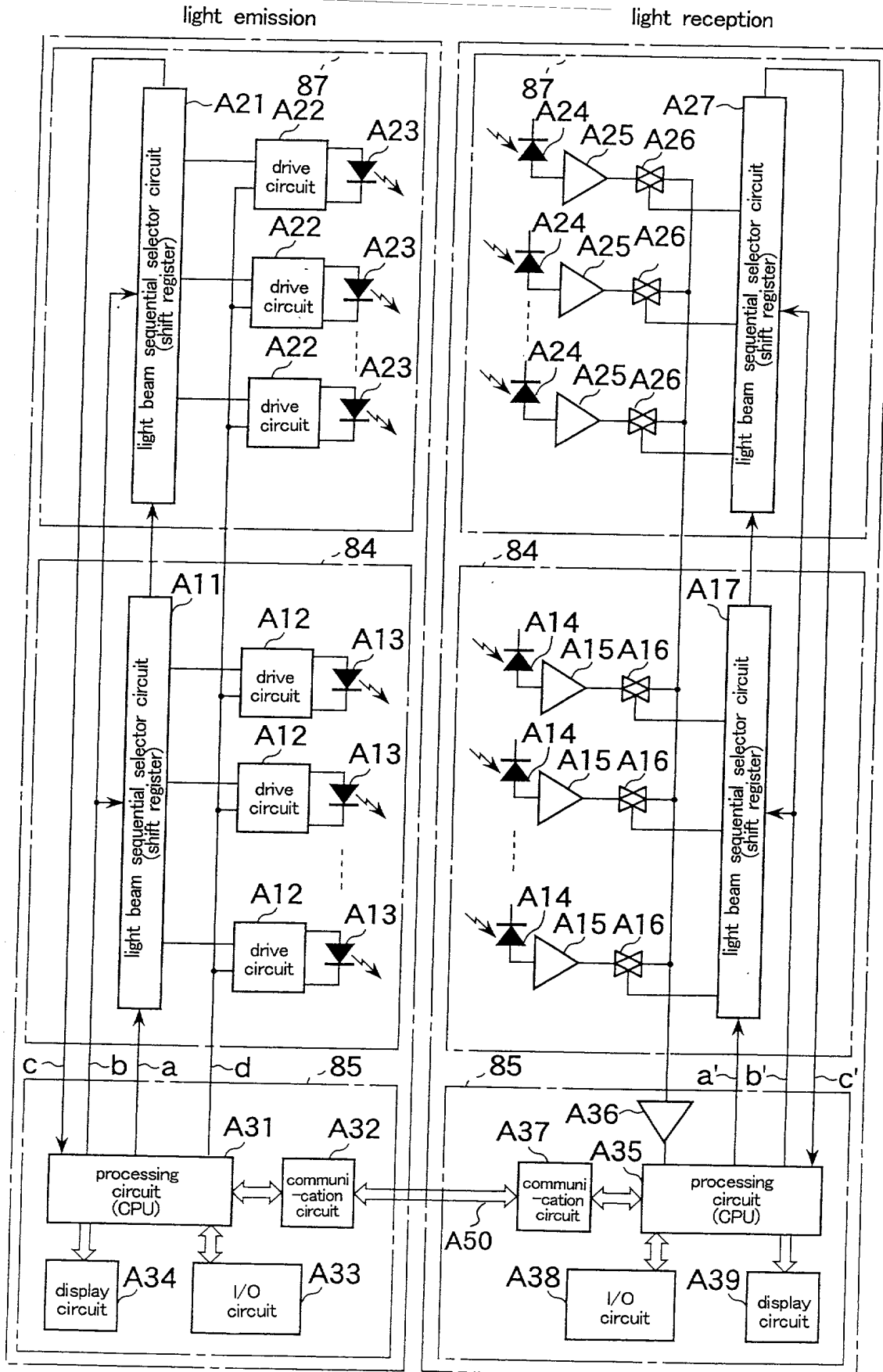
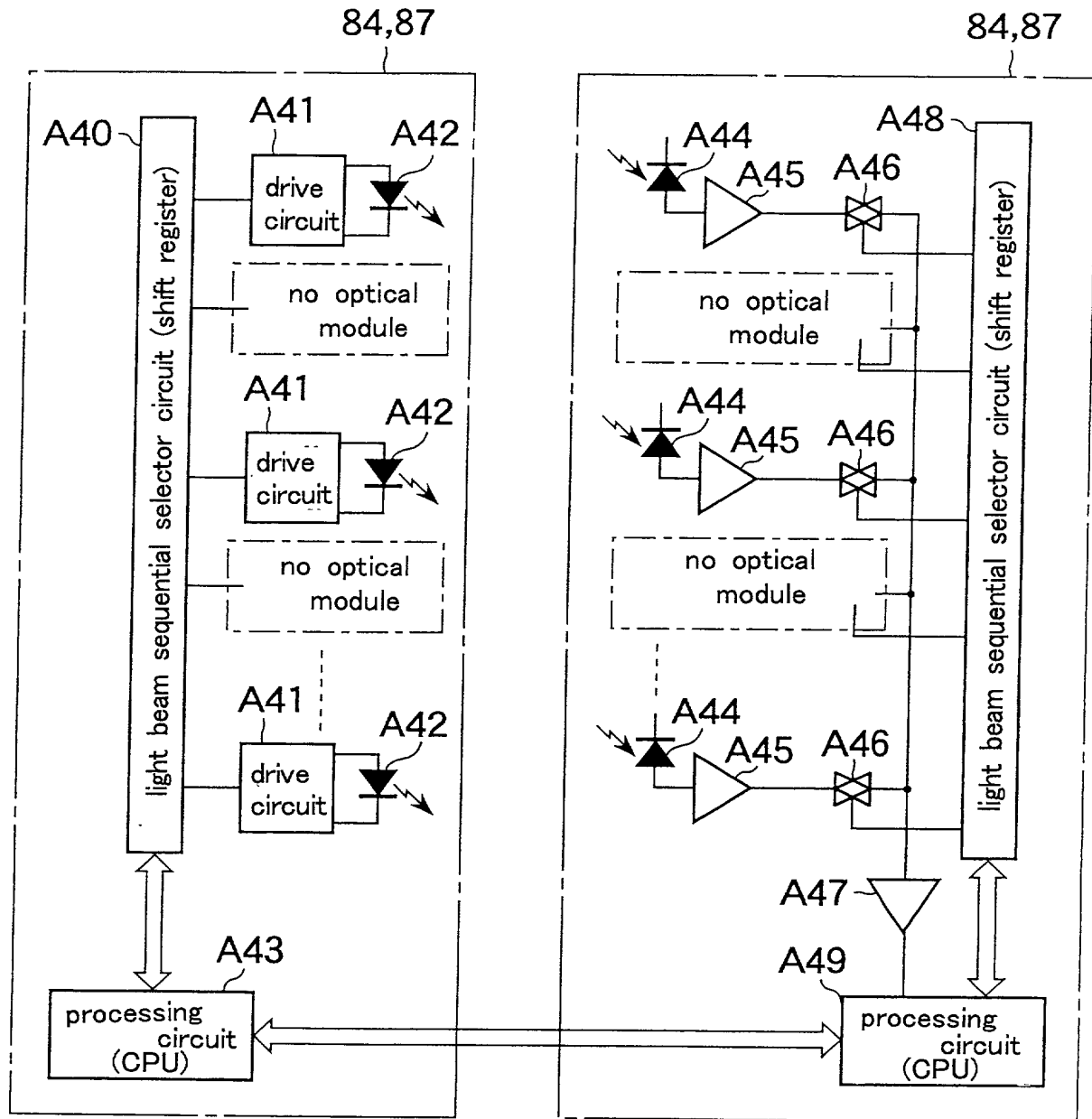


Fig. 1 2



*Fig. 13*

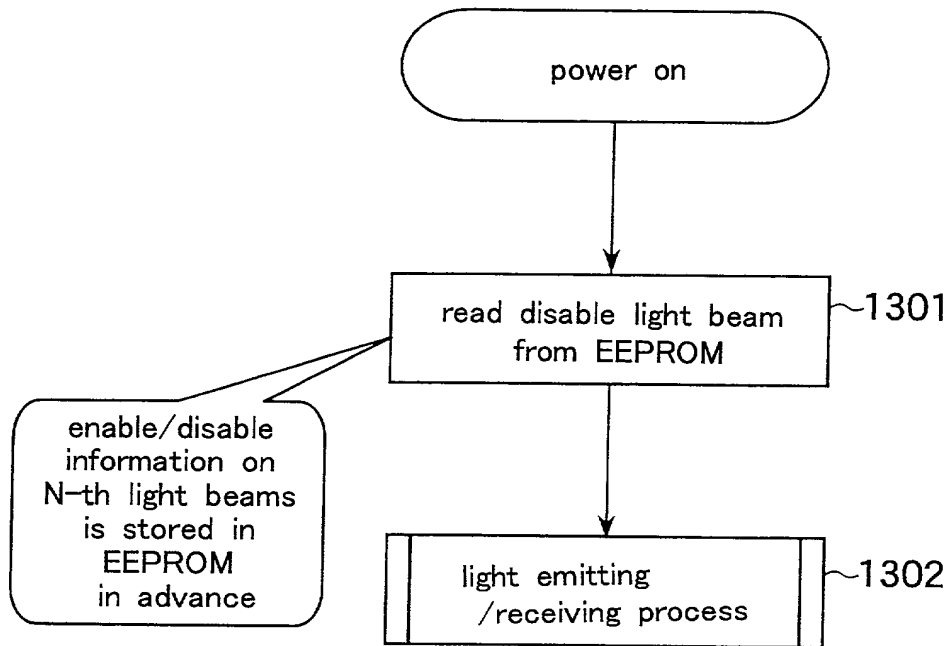


Fig. 1 4

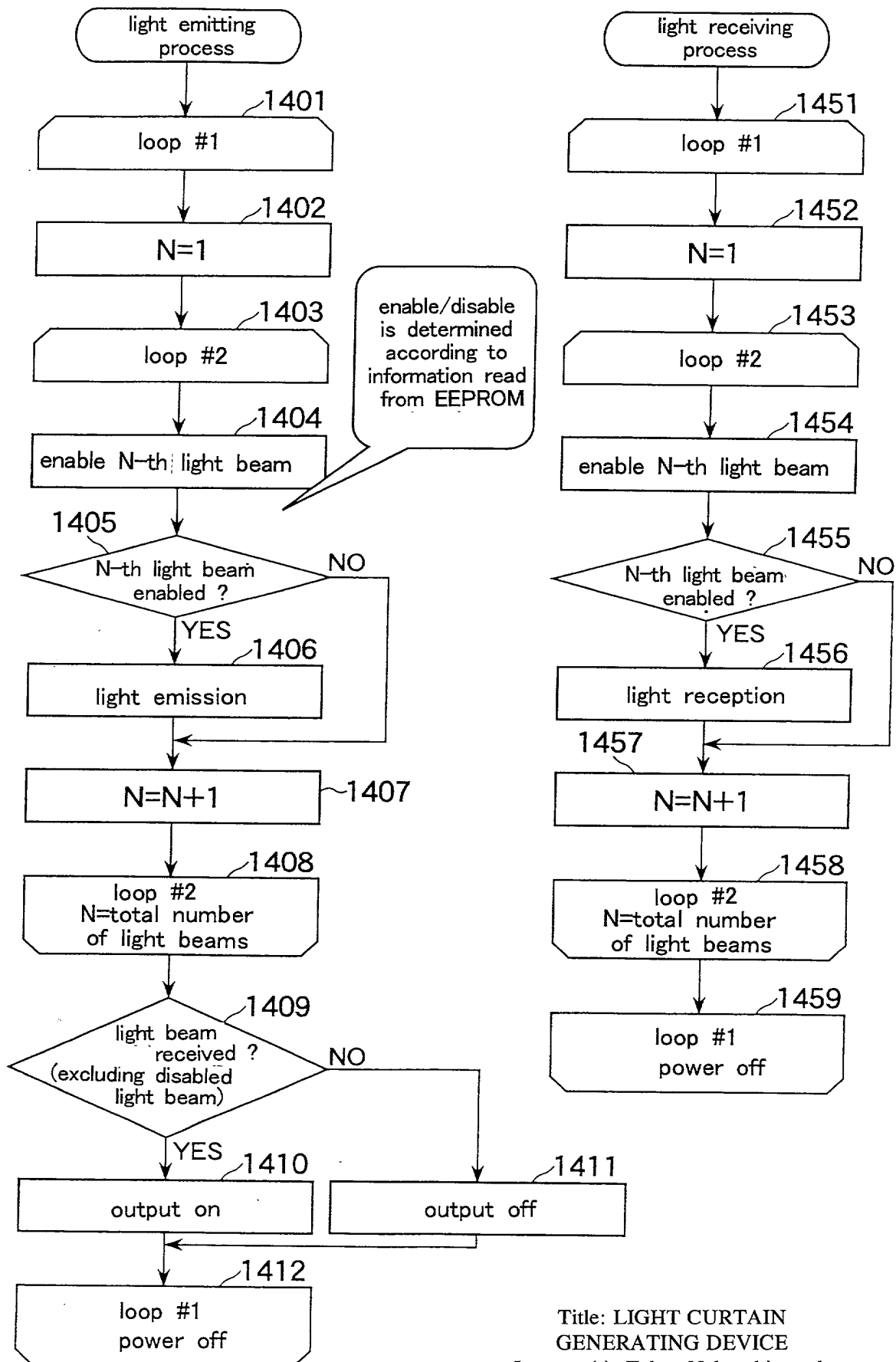
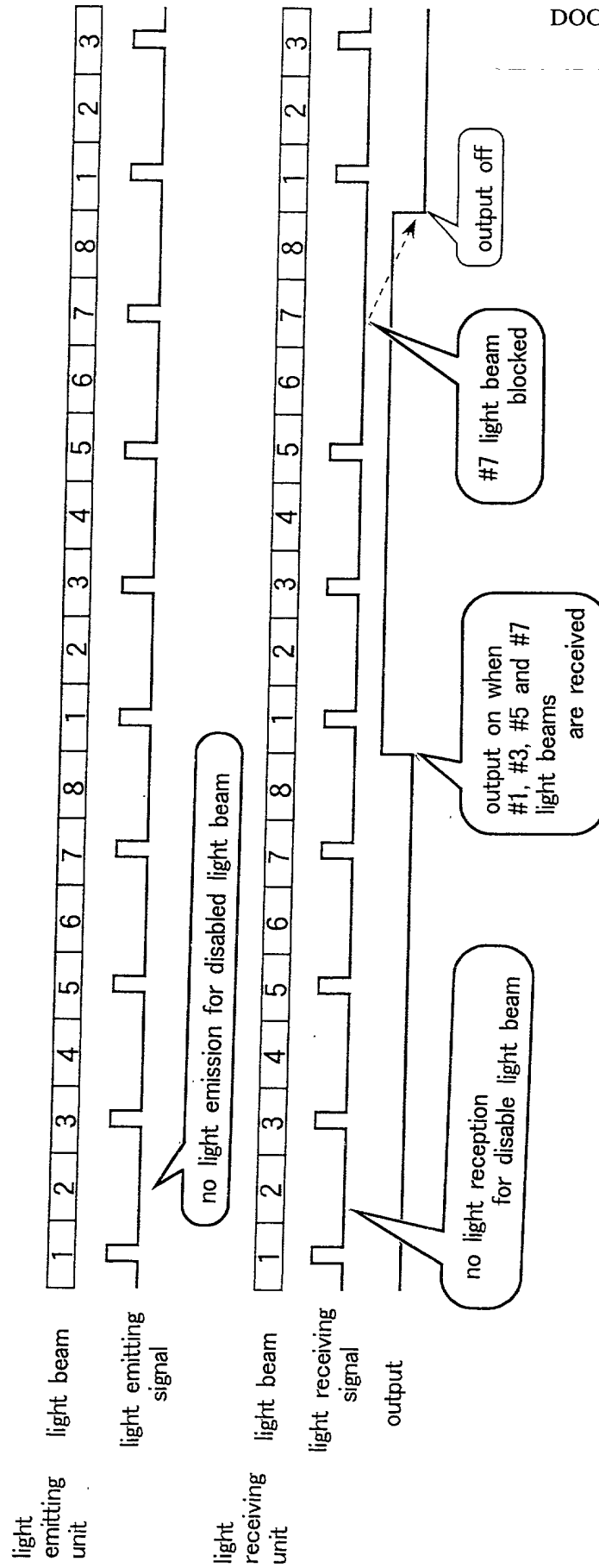


Fig. 15



*Fig. 1 6*

099564-001

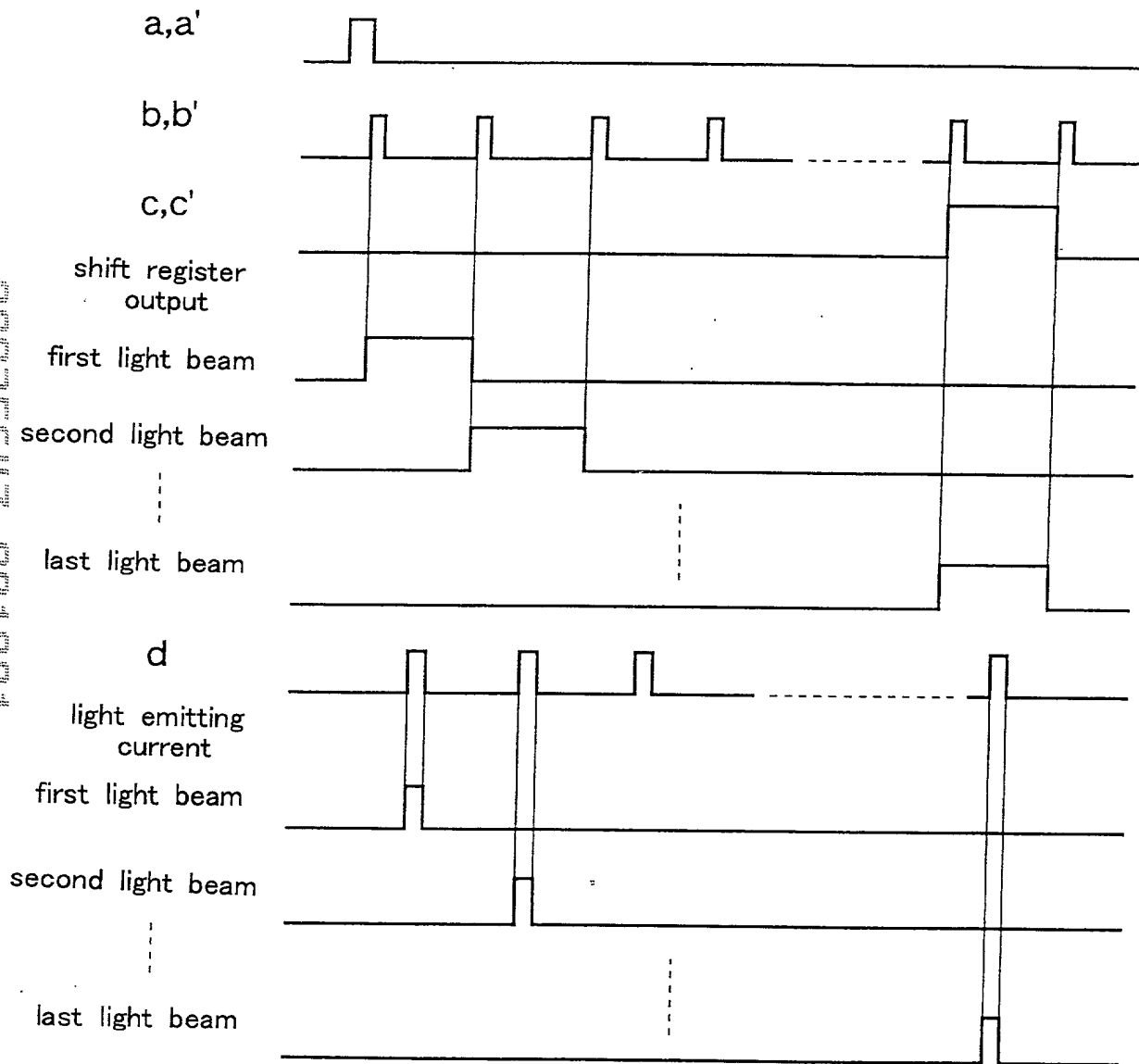




FIG. 17 (a)

Fig. 17 (a)

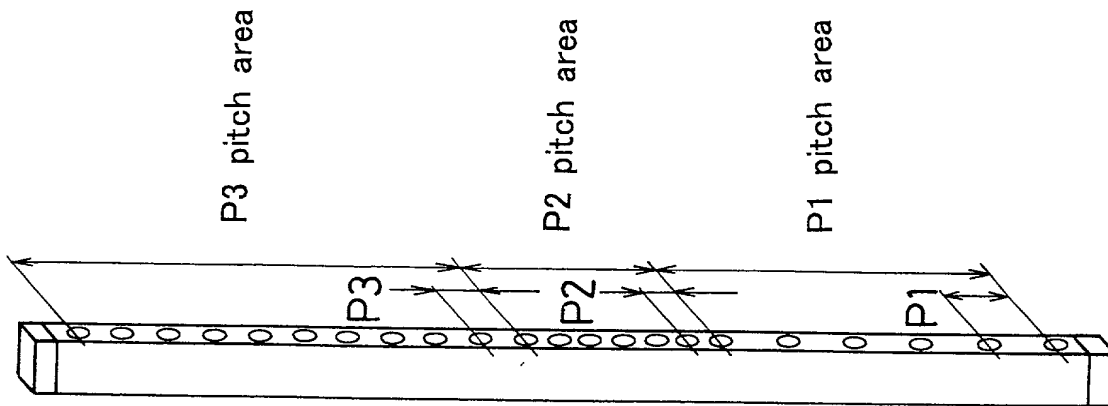


Fig. 17 (b)

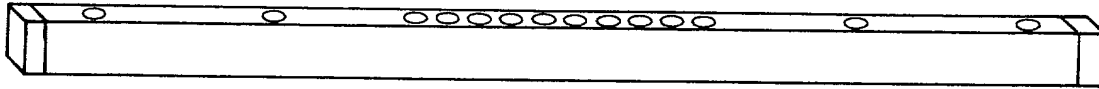


Fig. 17 (c)

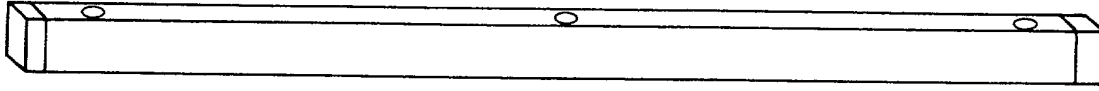
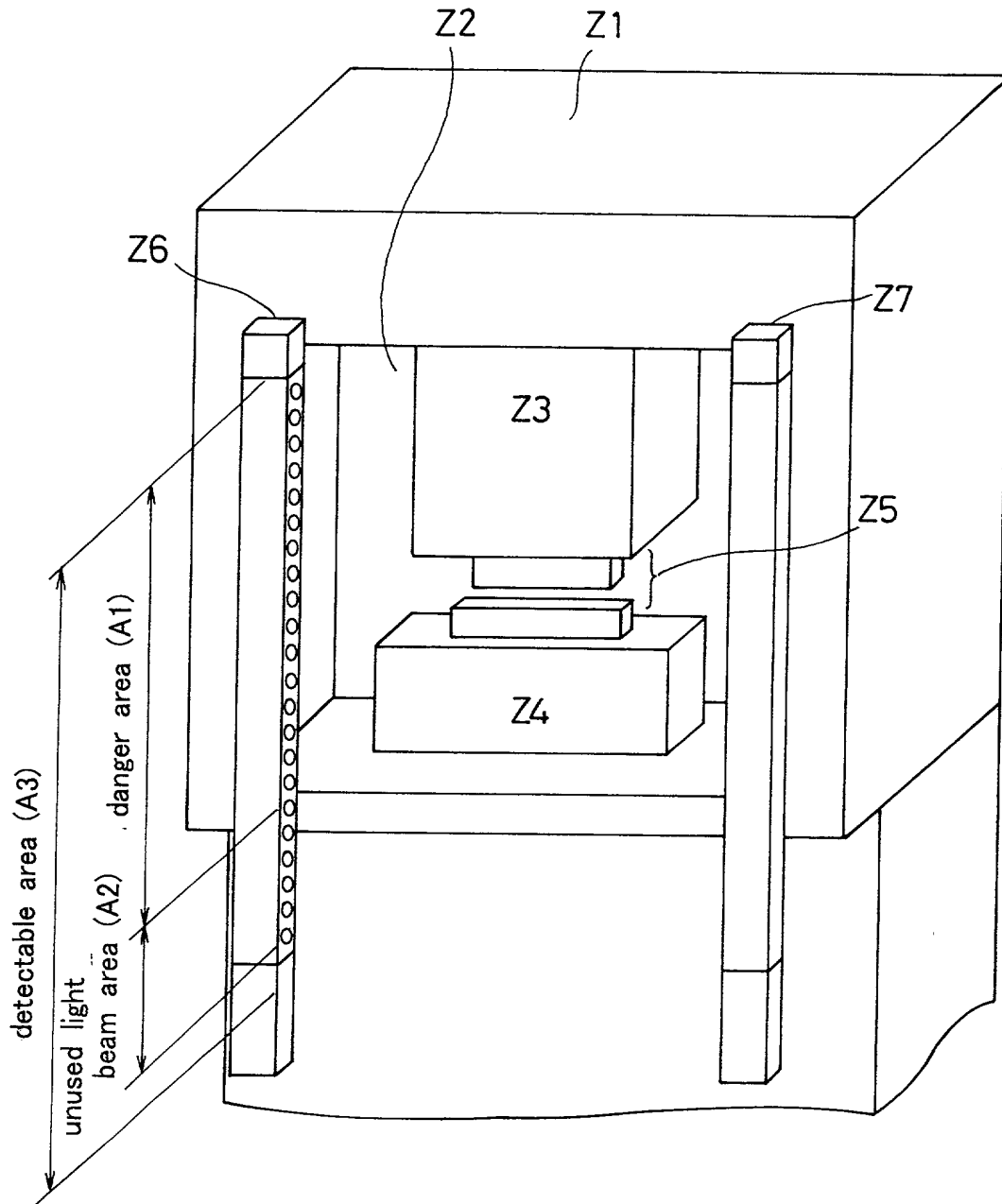


Fig. 1 8



Takao Nakazaki, et al.